

Warszawa, dn. 2024-03-10

T-Mobile Polska S.A.
ul. Marynarska 12
02-674 Warszawa

Pełnomocnik: [REDACTED]
Pełnomocnictwo numer: 159/01/21

z dnia: 2021-01-13

dane do korespondencji:

NetWorks Sp. z o.o.
ul. Józefa Piłsudskiego 3
00-728 Warszawa
tel. 506401236

Prezydent Miasta Białystok
Urząd Miejski w Białymstoku
ul. Słonimska 1
15-950 Białystok

Dotyczy: ustawowego obowiązku, wynikającego z art. 152 ust. 1 i ust. 7 w związku z ust. 6 pkt 1c ustawy z dnia 27 kwietnia 2001r – Prawo ochrony środowiska (Dz.U. 2024 poz. 54).

Działając z upoważnienia T-Mobile Polska S.A. z siedzibą ul. Marynarska 12, 02-674 Warszawa, informuję o zmianie danych w zakresie wielkości i rodzaju emisji dla instalacji radiokomunikacyjnej **24026 (96018N!) WBI_BIALYSTOK_ANDERS38** zlokalizowanej w miejscowości BIAŁYSTOK, ul. GEN. WŁADYSŁAWA ANDERSA 38. W stosunku do informacji zawartej w zgłoszeniu realizowanym dla tej instalacji w trybie art. 152 ust. 1 i 5 ustawy z dnia 27 kwietnia 2001r – Prawo ochrony środowiska (Dz.U. 2024 poz. 54), dane ulegają zmianie w następujący sposób:

9. Wielkość i rodzaj emisji²⁾:

Pole elektromagnetyczne. EIRP poszczególnych anten zostało podane w pkt 12, tj.

Lp.	Równoważna moc promieniowana izotropowo (EIRP) [W]
1.	22560
2.	22646
3.	22208
4.	22646
5.	22208
6.	22646
7.	51
8.	32
9.	13
10.	11

12. Szczegółowe dane, odpowiednio do rodzaju instalacji, zgodne z wymaganiami określonymi w załączniku nr 2 do Rozporządzenia:

Lp.	1)	2)	3)	4)	5)	
Lp.	Współrzędne geograficzne	Częstotliwość lub zakresy częstotliwości pracy instalacji [MHz]	Wysokość środka elektrycznego anteny [m n.p.t]	Równoważna moc promieniowana izotropowo (EIRP) [W]	Azymut [°]	Kąt pochylenia lub zakresy kątów pochylenia [°]
1.	23°10'5.4" 53°9'12"	800/900/1800/2100 /2600	44.8	22560	50	1-13/-2-10/-1-11/-1-11/4.5
2.	23°10'5.4" 53°9'12"	3600	44.8	22646	50	0-12
3.	23°10'4.7" 53°9'11"	800/900/1800/2100 /2600	43	22208	140	1-13/-1-11/-2-10/-2-10/4.5
4.	23°10'4.8" 53°9'11"	3600	43	22646	140	0-12
5.	23°10'4.4" 53°9'11.6"	800/900/1800/2100 /2600	44.5	22208	280	1-13/4/-2-10/-2-10/4.5
6.	23°10'4.4" 53°9'11.6"	3600	44.5	22646	280	0-12
7.	23°10'4.9" 53°9'11.7"	80000	40	51	158*	nd.
8.	23°10'5.4" 53°9'11.7"	80000	40	32	158*	nd.
9.	23°10'4.4" 53°9'11.6"	38000	40	13	249*	nd.
10.	23°10'4.7" 53°9'12"	38000	40	11	300*	nd.

*) tolerancja azymutu od -10° do +10°.

Informuję, iż dokonane zmiany w zakresie wielkości i rodzaju emisji przedmiotowej instalacji nie powodują zmiany instalacji w sposób istotny zgodnie z art. 3 pkt 7 ustawy Poś.

W załączniku przesyłam:

1. Pełnomocnictwo
2. Kopia potwierdzenia wniesienia opłaty skarbowej.

Otrzymują:

1. a/a
2. adresat





NetWorks Sp. z o.o.
Laboratorium Badań Środowiskowych
ul. Józefa Piusa Dziekońskiego 3
00-728 Warszawa
e-mail: Laboratorium@networks.pl



AB 419

S P R A W O Z D A N I E 4824/2023/OS
Z POMIARÓW PÓL ELEKTROMAGNETYCZNYCH
WYKONANYCH DLA POTRZEB OCHRONY ŚRODOWISKA

Badany obiekt: Instalacja radiokomunikacyjna T-Mobile Polska S.A.
Numer i nazwa: 24026 (96018N!) WBI_BIALYSTOK_ANDERS38
Adres: BIAŁYSTOK, GEN. WŁADYSŁAWA ANDERSA 38, Powiat m. Białystok, WOJ. PODLASKIE

Data wykonania pomiarów: 2024-03-13

Sprawozdanie z badań bez pisemnej zgody laboratorium nie może być powielane inaczej niż w całości.
Wynik przedstawione w niniejszym sprawozdaniu odnoszą się wyłącznie do badanego obiektu i do warunków i konfiguracji urządzeń w dniu wykonywania pomiarów.

1. Właściciel badanego obiektu:

T-Mobile Polska S.A., ul. Marynarska 12, 02-674 Warszawa

2. Zleceniodawca:

T-Mobile Polska S.A., ul. Marynarska 12, 02-674 Warszawa

3. Przedstawiciel zleceniodawcy:

NetWorks Sp. z o.o.

4. Zakres zlecenia:

Wykonanie badania i opracowanie sprawozdania z pomiarów natężenia pola elektrycznego i pola magnetycznego dla instalacji radiokomunikacyjnej T-Mobile Polska S.A. zlokalizowanej w miejscowości BIAŁYSTOK, GEN. WŁADYSŁAWA ANDERSA 38.

5. Cel zlecenia:

Wykonanie pomiarów pól elektromagnetycznych w otoczeniu instalacji radiokomunikacyjnej 24026 (96018N!) WBI_BIALYSTOK_ANDERS38 w odniesieniu do wymagań określonych w *Rozporządzeniu Ministra Klimatu z dnia 17 lutego 2020 r. w sprawie sposobów sprawdzania dotrzymania dopuszczalnych poziomów pól elektromagnetycznych w środowisku (Dz.U. 2022 poz. 2630)*.

6. Pomiary zostały wykonane przez:



7. Informacje o źródłach pól elektromagnetycznych

7.1. Sposób identyfikacji badanych źródeł pól elektromagnetycznych

Identyfikacji źródeł i parametrów technicznych dokonano na podstawie analizy dokumentacji dotyczącej zlecenia oraz obserwacji miejsca wykonywania badań.

7.2. Opis miejsca zainstalowania anten i urządzeń technicznych. Opis obiektu badań i jego otoczenia

Instalacja radiokomunikacyjna zlokalizowana jest na dachu. Anteny zawieszono na masztach usytowanych na dachu budynku. Urządzenia sterujące oraz zasilające zainstalowano w pomieszczeniu na ostatniej kondygnacji. Wokół instalacji znajduje się miasto.

Instalacja radiokomunikacyjna jest obiektem bezobsługowym. Okresowe stanowiska pracy związane są z prowadzonymi w zależności od potrzeb konserwacjami, przeglądami, strojeniem i naprawami.

7.3. Parametry techniczne źródła pola elektromagnetycznego

Dane przedstawiające maksymalne parametry pracy instalacji przekazane przez zleceniodawcę:

Parametry systemu nadawczo-odbiorczego:

Charakterystyka promieniowania		kierunkowa					
Rzeczywisty czas pracy [h/dobę]		24					
Warunki pracy		znamionowe					
Rodzaj wytwarzanego pola		stacjonarne					
Lp.	Częstotliwość lub zakresy częstotliwości pracy [MHz]	Typ/producent anteny	liczba anten	Azymut [°]	kąt pochylenia [°]	Wysokość środka elektrycznego anteny [m n.p.t.]	Równoważna moc promieniowana izotropowo (EIRP) [W]
1	800/900/1800/2100/2600	ASI4518R37v07 Huawei	1	50	1-13**/ -2-10**/ -1-11**/ -1-11**/ 4,5*	44.8	22560
2	3600	AQQQ NSN	1	50	0-12**	44.8	22646
3	800/900/1800/2100/2600	ASI4518R37v07 Huawei	1	140	1-13**/ -1-11**/ -2-10**/ -2-10**/ 4,5*	43	22208
4	3600	AQQQ NSN	1	140	0-12**	43	22646
5	800/900/1800/2100/2600	ASI4518R37v07 Huawei	1	280	1-13**/ 4*/ -2-10**/ -2-10**/ 4,5*	44.5	22208
6	3600	AQQQ NSN	1	280	0-12**	44.5	22646

* wskazane wartości kąta pochylenia anten, zgodnie z informacją uzyskaną od zleceniodawcy, są wartościami stałymi

** pomiary wykonano zgodnie z pkt 13., ppkt 2 załącznika do Rozporządzenia Ministra Klimatu z dnia 17 lutego 2020 r. (Dz. U. 2022, poz. 2630).

Parametry radiolini:

Charakterystyka promieniowania		kierunkowa					
Rzeczywisty czas pracy [h/dobę]		24					
Warunki pracy		znamionowe					
Rodzaj wytwarzanego pola		stacjonarne					
Lp.	Linia radiowa			Antena			
	Typ/ Producent	Częstotliwość pracy [GHz]	Równoważna moc promieniowana izotropowo (EIRP) [W]	Typ/ producent	Średnica anteny [m]	Azymut [°]	Wysokość zainstalowania n.p.t. [m]
1.	Ericsson Mini-Link 6352 Harris Stratex	80	51	ANT2_0.3 80 HP Ericsson	0.3	158	40
2.	ERICSSON 6651 6363 Harris Stratex	80	32	ANT3_0.3 80 HP Andrew	0.3	158	40
3.	Ericsson CN510 RAU2X Harris Stratex	38	13	ANT2_0.3 38 HP Ericsson	0.3	249	40
4.	Ericsson CN510 RAU2X Harris Stratex	38	11	ANT2_0.3 38 HP Ericsson	0.3	300	40

Sprawozdanie z badań bez pisemnej zgody laboratorium nie może być powielane inaczej niż w całości.

Wynik przedstawione w niniejszym sprawozdaniu odnoszą się wyłącznie do badanego obiektu i do warunków i konfiguracji urządzeń w dniu wykonywania pomiarów.

7.4 Inne źródła pól elektromagnetycznych

Na podstawie informacji otrzymanych od użytkownika oraz obserwacji otoczenia miejsca wykonywania pomiarów stwierdzono występowanie innych źródeł pola-EM, pracujących w systemie: telefonii komórkowej (800MHz-2600MHz), linii radiowych (5GHz – 90GHz), które istotnie wpływają na wyniki pomiarów.

8. Opis pomiarów

8.1. Metoda badań

Zgodna z rozporządzeniem Ministra Klimatu z dnia 17 lutego 2020 r. w sprawie sposobów sprawdzania dotrzymania dopuszczalnych poziomów pól elektromagnetycznych w środowisku (Dz.U. 2022 poz. 2630), określona w pkt 25 ppkt 1 załącznika do niniejszego rozporządzenia.

8.2. Termin pomiarów i warunki środowiskowe

Podczas wykonywania pomiarów pól elektromagnetycznych nie występowały opady atmosferyczne. Wyniki pomiaru parametrów pogodowych przedstawia poniższa tabela:

Data [rrrr-mm-dd]	Godzina [hh:mm-hh:mm]	Warunki środowiskowe			
		Temperatura [°C]		Wilgotność względna [%]	
		Przed pomiarem	Po pomiarach	Przed pomiarem	Po pomiarach
2024-03-13	10:00-11:30	3.3	4.1	69.2	68.6

Przedstawione wyżej warunki środowiskowe, występujące podczas wykonywania pomiarów pól elektromagnetycznych, są zgodne ze specyfikacją techniczną użytego zestawu pomiarowego.

8.3. Warunki pracy urządzeń nadawczych

Podczas pomiarów w przypadku uzyskania wyniku pomiaru szerokopasmowego wykonanego zastosowaną metodą, dla zakresów częstotliwości od 10 MHz do 300 GHz, powiększonego o rozszerzoną niepewność pomiaru U dla współczynnika rozszerzenia $k = 2$ przekraczającego 70% najniższej dopuszczalnej wartości składowej elektrycznej lub magnetycznej pola dla objętych pomiarami zakresów częstotliwości, uwzględnia się poprawki pomiarowe przekazane przez zleceniodawcę, umożliwiające uwzględnienie maksymalnych parametrów pracy instalacji zgodnie z pkt 7 załącznika do Rozporządzeniem Ministra Klimatu z dnia 17 lutego 2020 r. w sprawie sposobów sprawdzania dotrzymania dopuszczalnych poziomów pól elektromagnetycznych w środowisku (Dz. U. 2022, poz. 2630) zaznaczając, że wymagane jest wykonanie pomiaru z wykorzystaniem miernika selektywnego. W przypadku uzyskania wyniku pomiaru szerokopasmowego wykonanego zastosowaną metodą, dla zakresów częstotliwości od 10 MHz do 300 GHz, powiększonego o rozszerzoną niepewność pomiaru U dla współczynnika rozszerzenia $k = 2$ nieprzekraczającego 70% najniższej dopuszczalnej wartości składowej elektrycznej lub magnetycznej pola dla objętych pomiarami zakresów częstotliwości, nie uwzględnia się poprawek pomiarowych.

8.4. Wyposażenie pomiarowe

Zestaw pomiarowy służący do pomiaru natężenia składowej elektrycznej pola elektromagnetycznego złożony z szerokopasmowego miernika i sondy pomiarowej:

Oznaczenie miernika	Producent	Model	Numer fabryczny	Oznaczenie sondy	Producent	Model	Numer fabryczny
M-20	Narda Safety Test Solution	Miernik pól elektromagnetycznych NBM-550	H-0347	S-21	Narda Safety Test Solution	Sonda pomiarowa Narda EF6092	C-0114

Mierniki natężenia pola elektromagnetycznego podlegają okresowemu sprawdzeniu zgodnie z procedurą wewnętrzną P-03 i PB-01. Świadectwo wzorcowania zestawu pomiarowego z dnia 31 marca 2023 o numerze LWIMP/W/136/23 wydane przez Politechnika Wrocławską.

Data ważności świadectwa wzorcowania: 31 marca 2025 (zgodnie z procedurą wewnętrzną P-03).

Oznaczenie miernika	Producent	Model	Numer fabryczny	Oznaczenie sondy	Producent	Model	Numer fabryczny
M-20	Narda Safety Test Solution	Miernik pól elektromagnetycznych NBM-550	H-0347	S-22	Narda Safety Test Solution	Sonda EF0391	D-1516

Mierniki natężenia pola elektromagnetycznego podlegają okresowemu sprawdzeniu zgodnie z procedurą wewnętrzną P-03 i PB-01. Świadectwo wzorcowania zestawu pomiarowego z dnia 29 lutego 2024 o numerze LWIMP/W/062/24 wydane przez Politechnika Wrocławską.

Data ważności świadectwa wzorcowania: 28 lutego 2026 (zgodnie z procedurą wewnętrzną P-03).

Termohigrometr:

Oznaczenie:	TH-19	Producent:	AZ INSTRUMENT CORP	Model:	Termohigrometr AZ8706
-------------	-------	------------	--------------------	--------	-----------------------

Data ważności świadectwa wzorcowania: 19 maja 2024 (zgodnie z procedurą wewnętrzną P-03).

Dalmierz:

Oznaczenie	Producent	Typ	Numer seryjny	Nr świadectwa wzorcowania	Data świadectwa wzorcowania
D-02	Leica	Dalmierz Leica Disto X310	842350466	1146.6-M11-4180-396/15	8 kwietnia 2015

Data ważności świadectwa wzorcowania: 8 kwietnia 2025 (zgodnie z procedurą wewnętrzną P-03).

Odbiornik GNSS:

Oznaczenie	Producent	Model	Numer fabryczny
G-04	Stonex	S7-G GIS	S7G4083040010

Odbiorniki podlegają okresowemu sprawdzeniu zgodnie z procedurą wewnętrzną P-03.

9. Wyniki pomiarów

Pole elektryczne

Nr punktu	Opis umiejscowienia punktu pomiarowego	Wysokość pomiaru [m]	Zmierzona wartość natężenia pola elektrycznego E [V/m] ^{1,3}			Wartość natężenia pola elektrycznego powiększona o niepewność pomiaru ⁴ E [V/m]	Wskaźnikowa wartość poziomu emisji pól elektromagnetycznych WME ²	Współrzędne geograficzne punktu pomiarowego ²
			Sonda S-21	Sonda S-22	SUMA			
1	DPP, budynek instalacji, piętro 10/10, korytarz, okno otwarte, ul. Andersa 38	2.0	1.5	1.5	1.5	2	0.07	53°9'11.2" 23°10'4.1"
2	DPP, budynek instalacji, piętro 10/10, pomieszczenie biurowe, okno otwarte, ul. Andersa 38	0,3-2,0	<1,0*	<1,0*	<1,0*	1.3	0.05	53°9'12.2" 23°10'5.2"
3	DPP, budynek Instalacji, piętro 10/10, pomieszczenie biurowe, okno trwale zamknięte, ul. Andersa 38	0,3-2,0	<1,0*	<1,0*	<1,0*	1.3	0.05	53°9'11.9" 23°10'5.5"
4	DPP, budynek instalacji, piętro 10/10, klatka schodowa, okno trwale zamknięte, ul. Andersa 38	0,3-2,0	<1,0*	<1,0*	<1,0*	1.3	0.05	53°9'11.5" 23°10'4.1"
5	DPP, budynek magazynowy, płaszczyzna okna	0,3-2,0	<1,0*	<1,0*	<1,0*	1.3	0.05	53°9'13.7" 23°10'7.7"

Sprawozdanie z badań bez pisemnej zgody laboratorium nie może być powielane inaczej niż w całości.

Wynik przedstawione w niniejszym sprawozdaniu odnoszą się wyłącznie do badanego obiektu i do warunków i konfiguracji urządzeń w dniu wykonywania pomiarów.

	parterowego, ul. Andersa 38							
6	DPP, budynek biurowy, płaszczyzna okna parterowego, ul. Andersa 38a	2.0	1.4	1.4	1.4	1.8	0.07	53°9'9.0" 23°10'8.0"
7	DPP, budynek biurowy, płaszczyzna okna parterowego, ul. Andersa 38a	2.0	1.4	1.4	1.4	1.8	0.07	53°9'8.6" 23°10'8.0"
8	GKP w odległości 11m od anteny sektorowej az. 50°	0.3-2.0	<1.0*	<1.0*	<1.0*	1.3	0.05	53°9'12.2" 23°10'5.9"
9	GKP w odległości 45m od anteny sektorowej az. 50°	2.0	1.3	1.3	1.3	1.7	0.06	53°9'13.0" 23°10'7.3"
10	GKP w odległości 89m od anteny sektorowej az. 50°	2.0	1.4	1.4	1.4	1.8	0.07	53°9'14.0" 23°10'9.1"
11	GKP w odległości 8m od anteny radioliniowej az. 158°	0.3-2.0	<1.0*	<1.0*	<1.0*	1.3	0.05	53°9'11.5" 23°10'5.5"
12	GKP w odległości 25m od anteny radioliniowej az. 158°	0.3-2.0	<1.0*	<1.0*	<1.0*	1.3	0.05	53°9'10.8" 23°10'5.9"
13	GKP w odległości 43m od anteny radioliniowej az. 158°	2.0	1.3	1.3	1.3	1.7	0.06	53°9'10.4" 23°10'6.2"
14	GKP w odległości 5m od anteny sektorowej az. 140°	0.3-2.0	<1.0*	<1.0*	<1.0*	1.3	0.05	53°9'10.8" 23°10'4.8"
15	GKP w odległości 45m od anteny sektorowej az. 140°	2.0	1.4	1.4	1.4	1.8	0.07	53°9'9.7" 23°10'6.2"
16	GKP w odległości 89m od anteny sektorowej az. 140°	2.0	1.5	1.5	1.5	2	0.07	53°9'8.6" 23°10'7.7"
17	GKP w odległości 10m od anteny radioliniowej az. 249°	0.3-2.0	<1.0*	<1.0*	<1.0*	1.3	0.05	53°9'11.5" 23°10'3.7"
18	GKP w odległości 45m od anteny radioliniowej az. 249°	0.3-2.0	<1.0*	<1.0*	<1.0*	1.3	0.05	53°9'11.2" 23°10'1.9"
19	GKP w odległości 10m od anteny sektorowej az. 280°	0.3-2.0	<1.0*	<1.0*	<1.0*	1.3	0.05	53°9'11.5" 23°10'3.7"
20	GKP w odległości 50m od anteny sektorowej az. 280°	2.0	1.4	1.4	1.4	1.8	0.07	53°9'11.9" 23°10'1.6"
21	GKP w odległości 90m od anteny sektorowej az. 280°	2.0	1.5	1.5	1.5	2	0.07	53°9'12.2" 23°9'59.4"
22	GKP w odległości 5m od anteny radioliniowej az. 300°	0.3-2.0	<1.0*	<1.0*	<1.0*	1.3	0.05	53°9'11.9" 23°10'4.4"
23	GKP w odległości 39m od anteny radioliniowej az. 300°	0.3-2.0	<1.0*	<1.0*	<1.0*	1.3	0.05	53°9'12.6" 23°10'3.0"

Sprawozdanie z badań bez pisemnej zgody laboratorium nie może być powielane inaczej niż w całości.
 Wynik przedstawione w niniejszym sprawozdaniu odnoszą się wyłącznie do badanego obiektu i do warunków i konfiguracji urządzeń w dniu wykonywania pomiarów.

24	PKP na az. 15° w odległości 35m od anteny sektorowej az. 50°	0.3-2.0	<1.0*	<1.0*	<1.0*	1.3	0.05	53°9'13.0" 23°10'5.9"
25	PKP na az. 30° w odległości 29m od anteny sektorowej az. 50°	0.3-2.0	<1.0*	<1.0*	<1.0*	1.3	0.05	53°9'13.0" 23°10'6.2"
26	PKP na az. 43° w odległości 33m od anteny sektorowej az. 50°	2.0	1.3	1.3	1.3	1.7	0.06	53°9'13.0" 23°10'6.6"
27	PKP na az. 57° w odległości 38m od anteny sektorowej az. 50°	2.0	1.3	1.3	1.3	1.7	0.06	53°9'12.6" 23°10'7.0"
28	PKP na az. 70° w odległości 33m od anteny sektorowej az. 50°	2.0	1.2	1.2	1.2	1.6	0.06	53°9'12.2" 23°10'7.0"
29	PKP na az. 85° w odległości 39m od anteny sektorowej az. 50°	0.3-2.0	<1.0*	<1.0*	<1.0*	1.3	0.05	53°9'12.2" 23°10'7.3"
30	PKP na az. 105° w odległości 38m od anteny sektorowej az. 140°	0.3-2.0	<1.0*	<1.0*	<1.0*	1.3	0.05	53°9'10.8" 23°10'6.6"
31	PKP na az. 120° w odległości 40m od anteny sektorowej az. 140°	0.3-2.0	<1.0*	<1.0*	<1.0*	1.3	0.05	53°9'10.4" 23°10'6.6"
32	PKP na az. 133° w odległości 39m od anteny sektorowej az. 140°	2.0	1.4	1.4	1.4	1.8	0.07	53°9'10.1" 23°10'6.2"
33	PKP na az. 147° w odległości 41m od anteny sektorowej az. 140°	2.0	1.3	1.3	1.3	1.7	0.06	53°9'10.1" 23°10'5.9"
34	PKP na az. 160° w odległości 33m od anteny sektorowej az. 140°	2.0	1.4	1.4	1.4	1.8	0.07	53°9'10.1" 23°10'5.5"
35	PKP na az. 175° w odległości 40m od anteny sektorowej az. 140°	0.3-2.0	<1.0*	<1.0*	<1.0*	1.3	0.05	53°9'9.7" 23°10'4.8"
36	PKP na az. 245° w odległości 39m od anteny sektorowej az. 280°	0.3-2.0	<1.0*	<1.0*	<1.0*	1.3	0.05	53°9'11.2" 23°10'2.3"
37	PKP na az. 260° w odległości 33m od anteny sektorowej az. 280°	2.0	1.3	1.3	1.3	1.7	0.06	53°9'11.5" 23°10'2.6"
38	PKP na az. 273° w odległości 40m od anteny sektorowej az. 280°	2.0	1.4	1.4	1.4	1.8	0.07	53°9'11.5" 23°10'2.3"
39	PKP na az. 287° w odległości 39m	2.0	1.4	1.4	1.4	1.8	0.07	53°9'11.9" 23°10'2.3"

Sprawozdanie z badań bez pisemnej zgody laboratorium nie może być powielane inaczej niż w całości.
 Wynik przedstawione w niniejszym sprawozdaniu odnoszą się wyłącznie do badanego obiektu i do warunków i konfiguracji urządzeń w dniu wykonywania pomiarów.

	od anteny sektorowej az. 280°							
40	PKP na az. 300° w odległości 37m od anteny sektorowej az. 280°	0.3-2.0	<1.0*	<1.0*	<1.0*	1.3	0.05	53°9'12.2" 23°10'2.6"
41	PKP na az. 315° w odległości 35m od anteny sektorowej az. 280°	0.3-2.0	<1.0*	<1.0*	<1.0*	1.3	0.05	53°9'12.2" 23°10'3.0"
42	PKP na az. 83° w odległości 55m od anteny sektorowej az. 140°	0.3-2.0	<1.0*	<1.0*	<1.0*	1.3	0.05	53°9'11.2" 23°10'7.7"
-	GKP w odległości 290m od anteny sektorowej az. 50°	0.3-2.0	<1.0*	<1.0*	<1.0*	1.3	0.05	53°9'18.0" 23°10'17.4"
-	GKP w odległości 282m od anteny sektorowej az. 140°	0.3-2.0	<1.0*	<1.0*	<1.0*	1.3	0.05	53°9'4.0" 23°10'14.5"
-	GKP w odległości 317m od anteny sektorowej az. 280°	0.3-2.0	<1.0*	<1.0*	<1.0*	1.3	0.05	53°9'13.3" 23°9'47.5"

Pole magnetyczne (wyznaczone na podstawie pomiaru wartości natężenia pola elektrycznego)

Nr pionu	Opis umiejscowienia pionu (punktu) pomiarowego	Wysokość pomiaru [m]	Wartość natężenia pola magnetycznego H [A/m]			Wartość natężenia pola magnetycznego powiększona o niepewność pomiaru ⁴ H [A/m]	Wskaźnikowa wartość poziomu emisji pól elektromagnetycznych WM _{EP}	Współrzędne geograficzne pionu (punktu) pomiarowego ²
			Sonda S-21	Sonda S-22	SUMA			
1	DPP, budynek instalacji, piętro 10/10, korytarz, okno otwarte, ul. Andersa 38	2.0	0.004	0.004	0.004	0.005	0.07	53°9'11.2" 23°10'4.1"
2	DPP, budynek instalacji, piętro 10/10, pomieszczenie biurowe, okno otwarte, ul. Andersa 38	0.3-2.0	<0.003*	<0.003*	<0.003*	0.003	0.05	53°9'12.2" 23°10'5.2"
3	DPP, budynek instalacji, piętro 10/10, pomieszczenie biurowe, okno trwale zamknięte, ul. Andersa 38	0.3-2.0	<0.003*	<0.003*	<0.003*	0.003	0.05	53°9'11.9" 23°10'5.5"
4	DPP, budynek instalacji, piętro 10/10, klatka schodowa, okno trwale zamknięte, ul. Andersa 38	0.3-2.0	<0.003*	<0.003*	<0.003*	0.003	0.05	53°9'11.5" 23°10'4.1"
5	DPP, budynek magazynowy, płaszczyzna okna parterowego, ul. Andersa 38	0.3-2.0	<0.003*	<0.003*	<0.003*	0.003	0.05	53°9'13.7" 23°10'7.7"
6	DPP, budynek biurowy,	2.0	0.004	0.004	0.004	0.005	0.07	53°9'9.0" 23°10'8.0"

Sprawozdanie z badań bez pisemnej zgody laboratorium nie może być powielane inaczej niż w całości.
 Wynik przedstawione w niniejszym sprawozdaniu odnoszą się wyłącznie do badanego obiektu i do warunków i konfiguracji urządzeń w dniu wykonywania pomiarów.

	płaszczyzna okna parterowego, ul. Andersa 38a							
7	DPP, budynek biurowy, płaszczyzna okna parterowego, ul. Andersa 38a	2.0	0.004	0.004	0.004	0.005	0.07	53°9'8.6" 23°10'8.0"
8	GKP w odległości 11m od anteny sektorowej az. 50°	0.3-2.0	<0.003*	<0.003*	<0.003*	0.003	0.05	53°9'12.2" 23°10'5.9"
9	GKP w odległości 45m od anteny sektorowej az. 50°	2.0	0.003	0.003	0.003	0.004	0.06	53°9'13.0" 23°10'7.3"
10	GKP w odległości 89m od anteny sektorowej az. 50°	2.0	0.004	0.004	0.004	0.005	0.07	53°9'14.0" 23°10'9.1"
11	GKP w odległości 8m od anteny radioliniowej az. 158°	0.3-2.0	<0.003*	<0.003*	<0.003*	0.003	0.05	53°9'11.5" 23°10'5.5"
12	GKP w odległości 25m od anteny radioliniowej az. 158°	0.3-2.0	<0.003*	<0.003*	<0.003*	0.003	0.05	53°9'10.8" 23°10'5.9"
13	GKP w odległości 43m od anteny radioliniowej az. 158°	2.0	0.003	0.003	0.003	0.004	0.06	53°9'10.4" 23°10'6.2"
14	GKP w odległości 5m od anteny sektorowej az. 140°	0.3-2.0	<0.003*	<0.003*	<0.003*	0.003	0.05	53°9'10.8" 23°10'4.8"
15	GKP w odległości 45m od anteny sektorowej az. 140°	2.0	0.004	0.004	0.004	0.005	0.07	53°9'9.7" 23°10'6.2"
16	GKP w odległości 89m od anteny sektorowej az. 140°	2.0	0.004	0.004	0.004	0.005	0.07	53°9'8.6" 23°10'7.7"
17	GKP w odległości 10m od anteny radioliniowej az. 249°	0.3-2.0	<0.003*	<0.003*	<0.003*	0.003	0.05	53°9'11.5" 23°10'3.7"
18	GKP w odległości 45m od anteny radioliniowej az. 249°	0.3-2.0	<0.003*	<0.003*	<0.003*	0.003	0.05	53°9'11.2" 23°10'1.9"
19	GKP w odległości 10m od anteny sektorowej az. 280°	0.3-2.0	<0.003*	<0.003*	<0.003*	0.003	0.05	53°9'11.5" 23°10'3.7"
20	GKP w odległości 50m od anteny sektorowej az. 280°	2.0	0.004	0.004	0.004	0.005	0.07	53°9'11.9" 23°10'1.6"

Sprawozdanie z badań bez pisemnej zgody laboratorium nie może być powielane inaczej niż w całości.
 Wynik przedstawione w niniejszym sprawozdaniu odnoszą się wyłącznie do badanego obiektu i do warunków i konfiguracji urządzeń w dniu wykonywania pomiarów.

21	GKP w odległości 90m od anteny sektorowej az. 280°	2.0	0.004	0.004	0.004	0.005	0.07	53°9'12.2" 23°9'59.4"
22	GKP w odległości 5m od anteny radioliniowej az. 300°	0.3-2.0	<0.003*	<0.003*	<0.003*	0.003	0.05	53°9'11.9" 23°10'4.4"
23	GKP w odległości 39m od anteny radioliniowej az. 300°	0.3-2.0	<0.003*	<0.003*	<0.003*	0.003	0.05	53°9'12.6" 23°10'3.0"
24	PKP na az. 15° w odległości 35m od anteny sektorowej az. 50°	0.3-2.0	<0.003*	<0.003*	<0.003*	0.003	0.05	53°9'13.0" 23°10'5.9"
25	PKP na az. 30° w odległości 29m od anteny sektorowej az. 50°	0.3-2.0	<0.003*	<0.003*	<0.003*	0.003	0.05	53°9'13.0" 23°10'6.2"
26	PKP na az. 43° w odległości 33m od anteny sektorowej az. 50°	2.0	0.003	0.003	0.003	0.004	0.06	53°9'13.0" 23°10'6.6"
27	PKP na az. 57° w odległości 38m od anteny sektorowej az. 50°	2.0	0.003	0.003	0.003	0.004	0.06	53°9'12.6" 23°10'7.0"
28	PKP na az. 70° w odległości 33m od anteny sektorowej az. 50°	2.0	0.003	0.003	0.003	0.004	0.06	53°9'12.2" 23°10'7.0"
29	PKP na az. 85° w odległości 39m od anteny sektorowej az. 50°	0.3-2.0	<0.003*	<0.003*	<0.003*	0.003	0.05	53°9'12.2" 23°10'7.3"
30	PKP na az. 105° w odległości 38m od anteny sektorowej az. 140°	0.3-2.0	<0.003*	<0.003*	<0.003*	0.003	0.05	53°9'10.8" 23°10'6.6"
31	PKP na az. 120° w odległości 40m od anteny sektorowej az. 140°	0.3-2.0	<0.003*	<0.003*	<0.003*	0.003	0.05	53°9'10.4" 23°10'6.6"
32	PKP na az. 133° w odległości 39m od anteny sektorowej az. 140°	2.0	0.004	0.004	0.004	0.005	0.07	53°9'10.1" 23°10'6.2"
33	PKP na az. 147° w odległości 41m od anteny sektorowej az. 140°	2.0	0.003	0.003	0.003	0.004	0.06	53°9'10.1" 23°10'5.9"
34	PKP na az. 160° w odległości 33m od anteny sektorowej az. 140°	2.0	0.004	0.004	0.004	0.005	0.07	53°9'10.1" 23°10'5.5"
35	PKP na az. 175° w	0.3-2.0	<0.003*	<0.003*	<0.003*	0.003	0.05	53°9'9.7" 23°10'4.8"

Sprawozdanie z badań bez pisemnej zgody laboratorium nie może być powielane inaczej niż w całości.
 Wynik przedstawione w niniejszym sprawozdaniu odnoszą się wyłącznie do badanego obiektu i do warunków i konfiguracji urządzeń w dniu wykonywania pomiarów.

	odległości 40m od anteny sektorowej az. 140°							
36	PKP na az. 245° w odległości 39m od anteny sektorowej az. 280°	0.3-2.0	<0.003*	<0.003*	<0.003*	0.003	0.05	53°9'11.2" 23°10'2.3"
37	PKP na az. 260° w odległości 33m od anteny sektorowej az. 280°	2.0	0.003	0.003	0.003	0.004	0.06	53°9'11.5" 23°10'2.6"
38	PKP na az. 273° w odległości 40m od anteny sektorowej az. 280°	2.0	0.004	0.004	0.004	0.005	0.07	53°9'11.5" 23°10'2.3"
39	PKP na az. 287° w odległości 39m od anteny sektorowej az. 280°	2.0	0.004	0.004	0.004	0.005	0.07	53°9'11.9" 23°10'2.3"
40	PKP na az. 300° w odległości 37m od anteny sektorowej az. 280°	0.3-2.0	<0.003*	<0.003*	<0.003*	0.003	0.05	53°9'12.2" 23°10'2.6"
41	PKP na az. 315° w odległości 35m od anteny sektorowej az. 280°	0.3-2.0	<0.003*	<0.003*	<0.003*	0.003	0.05	53°9'12.2" 23°10'3.0"
42	PKP na az. 83° w odległości 55m od anteny sektorowej az. 140°	0.3-2.0	<0.003*	<0.003*	<0.003*	0.003	0.05	53°9'11.2" 23°10'7.7"
-	GKP w odległości 290m od anteny sektorowej az. 50°	0.3-2.0	<0.003*	<0.003*	<0.003*	0.003	0.05	53°9'18.0" 23°10'17.4"
-	GKP w odległości 282m od anteny sektorowej az. 140°	0.3-2.0	<0.003*	<0.003*	<0.003*	0.003	0.05	53°9'4.0" 23°10'14.5"
-	GKP w odległości 317m od anteny sektorowej az. 280°	0.3-2.0	<0.003*	<0.003*	<0.003*	0.003	0.05	53°9'13.3" 23°9'47.5"

GKP – Główny Kierunek Pomiarowy

DPP – Dodatkowy Pion Pomiarowy

PKP – Pomocniczy Kierunek Pomiarowy

¹ wyniki oznaczone * są wynikami poniżej czułości zestawu pomiarowego i są wynikami spoza zakresu akredytacji. Do obliczenia wyniku skorygowanego przyjęto wartość skorelowaną z rzeczywistym wynikiem pomiaru - dolną granicę akredytowanego zakresu pomiarowego metody

² współrzędne geograficzne pozyskane metodą pomiaru bezpośredniego

³ do wyznaczenia wartości wskaźnikowej W_{ME} i W_{MH} przyjęto na podstawie uzgodnień z klientem oraz rozpoznania źródeł, jako wartości dopuszczalne pola elektrycznego i magnetycznego odpowiednio 28 V/m i 0,073 A/m.

⁴ do wyznaczenia niepewności dla wyników poniżej czułości zestawu pomiarowego, przyjęto niepewność dla minimalnej wartości z zakresu pomiarowego.

⁵ maksymalna wartość chwilowa

Sprawozdanie z badań bez pisemnej zgody laboratorium nie może być powielane inaczej niż w całości.
 Wynik przedstawione w niniejszym sprawozdaniu odnoszą się wyłącznie do badanego obiektu i do warunków i konfiguracji urządzeń w dniu wykonywania pomiarów.

Niepewność oszacowano zgodnie z dokumentem P-03 „Procedura nadzoru nad wyposażeniem” w postaci niepewności rozszerzonej wynikającej z niepewności standardowej pomnożonej przez współczynnik rozszerzenia $k=2$.
Całkowita szacowana niepewność rozszerzona składowej E wynosi odpowiednio:
sonda S-21: 30% dla częstotliwości do 4 GHz, sonda S-22: 47.4% dla częstotliwości do 4 GHz

Umiejscowienie pionów (punktów) pomiarowych przedstawiono w załączniku nr 2 do niniejszego sprawozdania.

10. Omówienie wyników pomiarów

W związku z tym, że żadna z wartości zmierzonych, udokumentowanych w tabelach w pkt. 9, uzyskanych w skutek zastosowania pomiaru szerokopasmowego, powiększonego o rozszerzoną niepewność pomiaru U dla współczynnika rozszerzenia $k = 2$ nie przekroczyła 70% najniższej dopuszczalnej wartości składowej elektrycznej lub magnetycznej pola dla objętych pomiarami zakresów częstotliwości, nie uwzględnia się poprawek pomiarowych.

W wyniku zastosowania sposobu sprawdzenia dotrzymania dopuszczalnych poziomów pól elektromagnetycznych w środowisku, zgodnie pkt 25 ppkt 1 Rozporządzenia Ministra Klimatu z dnia 17 lutego 2020 r. (Dz. U. 2022, poz. 2630), w związku z tym, że żadna z wartości wskaźnikowych, udokumentowanych w tabelach w pkt. 9 nie przekracza wartości 1, stwierdza się, że w miejscach, w których wykonano pomiary w otoczeniu instalacji radiokomunikacyjnej 24026 (96018N!) WBI_BIALYSTOK_ANDERS38, dopuszczalne poziomy pól elektromagnetycznych w środowisku należy uznać za dotrzymane.

11. Podstawa prawna

- 1) Ustawa z dnia 27 kwietnia 2001 r. Prawo ochrony środowiska (Dz.U. 2022 poz. 2556)
- 2) Rozporządzenie Ministra Zdrowia z dnia 17 grudnia 2019 r. w sprawie dopuszczalnych poziomów pól elektromagnetycznych w środowisku (Dz. U. 2019, poz. 2448)
- 3) Rozporządzenie Ministra Klimatu z dnia 17 lutego 2020 r. w sprawie sposobów sprawdzania dotrzymania dopuszczalnych poziomów pól elektromagnetycznych w środowisku (Dz. U. 2022, poz. 2630),
- 4) Akredytacja nr AB 419 wydana przez Polskie Centrum Akredytacji (wydanie 22, z dnia 9 stycznia 2024 r.)

12. Spis załączników

- Załącznik 1. Lokalizacja obiektu badań
- Załącznik 2. Usytuowanie pionów (punktów) pomiarowych
- Załącznik 3. Dokumentacja fotograficzna obiektu badań

13. Data wydania i autoryzowania sprawozdania

Obliczenia i sprawozdanie wykonał :

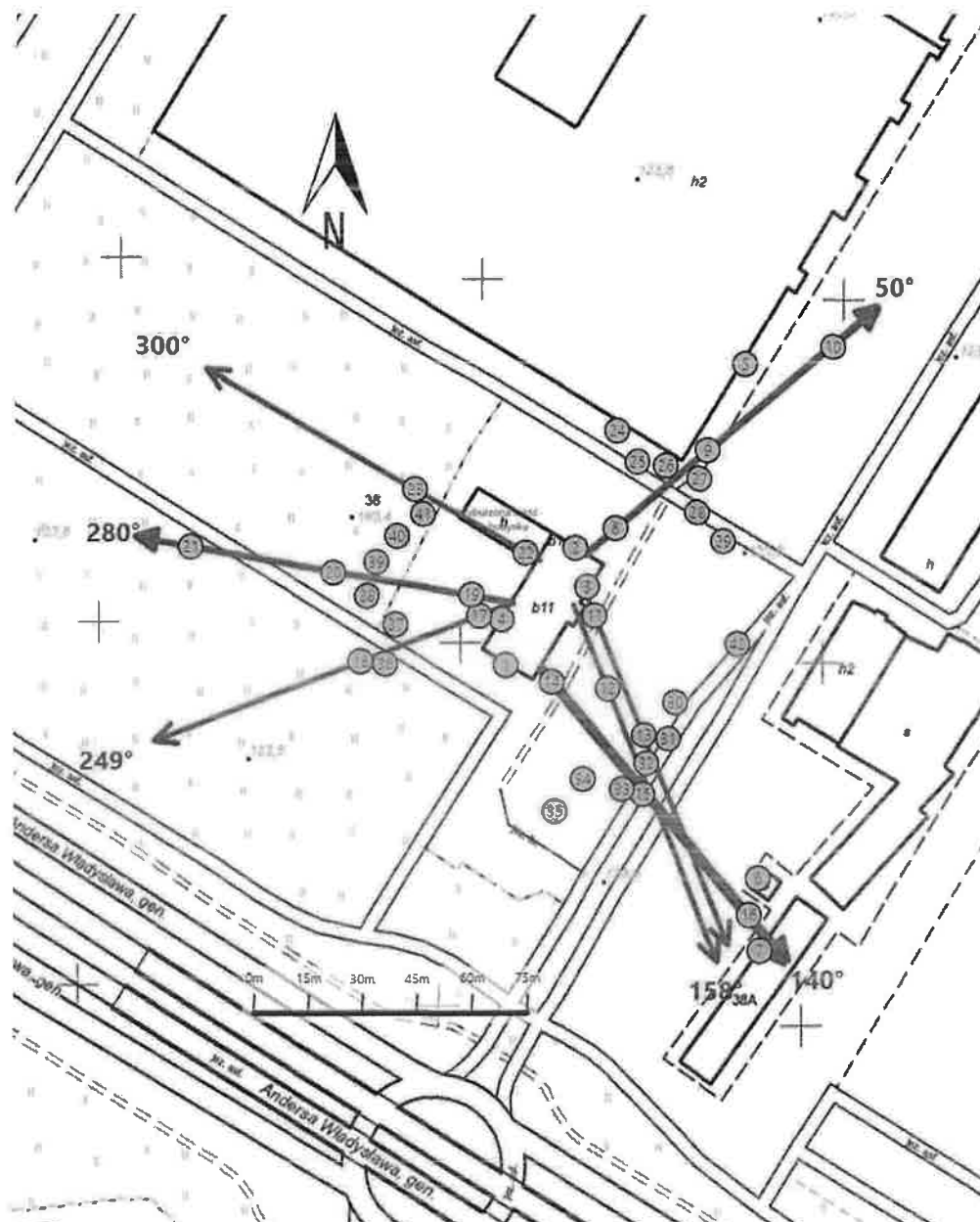
Sprawozdanie autoryzował:







Sprawozdanie z badań bez pisemnej zgody laboratorium nie może być powielane inaczej niż w całości.
Wynik przedstawione w niniejszym sprawozdaniu odnoszą się wyłącznie do badanego obiektu i do warunków i konfiguracji urządzeń w dniu wykonywania pomiarów.



Załącznik nr 1	Instalacja radiokomunikacyjna T-Mobile Polska S.A. 24026 (96018N!) WBI_BIALYSTOK_ANDERS38 Lokalizacja instalacji radiokomunikacyjnej
----------------	--



Załącznik nr 2	Instalacja radiokomunikacyjna T-Mobile Polska S.A. WBI_BIALYSTOK_ANDERS38 (96018N1) Usytuowanie pionów pomiarowych w otoczeniu instalacji radiokomunikacyjnej
	Legenda: <div style="display: flex; justify-content: space-around; align-items: flex-start;"> <div style="text-align: center;">  Brak dostępu </div> <div style="text-align: center;">  Pion pomiarowy </div> <div style="text-align: center;">  Kierunek oddziaływania anten sektorowych </div> <div style="text-align: center;">  Kierunek oddziaływania anten radioliniowych </div> </div>



Załącznik nr 3

Instalacja radiokomunikacyjna T-Mobile Polska S.A.
24026 (96018N!) WBI_BIALYSTOK_ANDERS38

Dokumentacja fotograficzna